

生薑모자이크바이러스病에 관한 研究

蘇 仁 永

Studies on Ginger Mosaic Virus

In Young So

Abstract

A mosaic virus disease of ginger plant was investigated to determine its virus group on the basis of host range, physical and chemical properties, serological behavior and electron-microscopic morphology.

The disease gave rise to yellowish and dark-green mosaic on the leaves in the early stage and stunted all the leaves as well as rhizomes in the late stage. In the field about 43% of the plants were observed to be diseased. The disease was able to be artificially infected to the ginger plants by the sap and core transmission as well as to 23 other species of plants which were known to be the CMV susceptible plants by the sap transmission; *Chenopodium amaranticolar*, *Nicotiana tabaccum* var. Havana, cow pea, cucumber, tomato,... etc. The dilution end point of the virus ranged 10^{-4} - 10^{-5} and the thermal inactivation point 65-70°C. Serological test showed a positive reaction by a CMV antiserum. An electron microscopy of the purified virus showed that the virus particles were spherical with a diameter of 28-32m μ . Virus particles from the infected tissue were observed to be free or aggregated in the mesophyll tissue of artificially infected tobacco plant. The mosaic disease of ginger plants were conclusively suggested to the CMV group.

緒 論

生薑은 印度 및 南洋아시아 地方이 原產地로 추정되며, 現在는 全世界的으로 온난지대에 분포되고 있다. 우리나라에는 忠南 瑞山과 全北 凤東地方에 栽培地가 形成되고 있으며, 兩箇地에서 全國需要量의 80%이상을 生산하고 있다. 根莖作物인 생강은 塊莖에 의하여 菌養繁殖을 하므로 種莖傳染에 의한 種子傳染病害의 防除策이 문제되고 있는 실정이다. 특히 우리나라에서는 長期的 種莖更新 없이 自家採莖에 依한 栽培가

이루어지고 있어 바이러스病이 만연되고 있는 실정이다. 따라서 無病種莖의 生產과 아울려 이의 系統的 보조供給體系가 要望된다. CMV群의 바이러스라고 하였으나, 小室¹⁵⁾은 생강의 바이러스病에 관하여는 河合¹³⁾과 생강이 CMV系統에 非感受性이라 하였고, 匠原 등²⁵⁾은 CMV抗血清과 陽性反應를 나타낸다고 하였다. 우리나라에서는 정동²⁾ 이동¹⁸⁾에 의하여 생강에 CMV가 發生한다고 하였고, 이어서 이의 諧性質을 記載하였을 때 생강에 발생하는 모자이크病에 대한 綜合된 單一報는 찾아볼 수 없다. 따라서 本人은 凤東과 瑞山地方의 生薑栽培園地內에 바이러스病徵의 萎縮病이 發生하는

* 全北大學校 農科大學 College of Agriculture, Jeon Bu National University, Jeon Ju, 520, Korea.

** 1979年度 文教部 研究補助費에 의한 것임.

있어 1978년부터 罹病株을 審集하여 이의 病原과 諸性質을 調査하였다.

實驗材料 및 方法

罹病株 審集 및 바이러스分離 索引病株는 1978 ~ 1979年 全羅北道 凤東地方와 漢城南道 瑞山郡 浮石面과 仁德面一帶의 生薑栽培地에 發病되고 있는 모자이크病徵(?) 푸르한 生薑(*Zingiberi officinale*, Common strain)을 採集하여 供試하였다. 寄生植物은 CMV寄生植物도 알리킨 植物들을 痘室에서 파종 育苗하여 사용하였다. 바이러스分離는 局部斑點 및 全身感染性寄生植物을 應用한 寄生植物接種法으로 單一分離하였으며, 人工接種은 인산완충액(pH 7.0)을 가한 罹病組織 番塊에 carborundum(400mesh)을 넣어 電弧接種하였다.

罹病率 調査: 농가재배포장의 이병률 조사는 凤東과 瑞山地方의 生薑栽培地를 중심으로 생강 생강기간(7~10月)에 걸쳐 畜當 3坪(9.9m²) 기준으로 1畝場 3反復 3列씩 무작위 표본 조사하였다. 실험지는 凤東地方에서 流通되고 있는 種薑을 무작위 수집 混合하여 全北大學農科農場에 파종한 후 발아 초기부터 수확기까지 조사하였다. 罹病率은 3坪내의 生薑全體株數의 비 이병주수로 計算하였다.

物理化學的 植質: 植物界限點의 接種源은 이병조직 인산완충액(W/V)=1:1로 하여 착즙한 액에 재증류수를 가하여 10滴法으로 稀釋하였다. 溫度界限點의 接種源은 이병조직: 인산완충액(W/V)=1:50으로 착즙한 액을 각 온도별 乾溫水槽內에서 10分間 處理하여 接種하였다. 각 種定植物은 명아주(*Chenopodium amaranticolar*), 균대(*Beta vulgaris*), 담배(*Nicotiana tabacum* var. White Burley)를 並用하였다. 純化는 H. Scott¹³, Takanami 등¹⁰, 李 등¹⁷의 方法을應用하여 超遠心分離하였다.

血清反應 및 電子顯微鏡 觀察: 血清檢定은 匠原²⁵의 方法을 應用한 寒天內擴散法으로 反應시키 나타난 反應帶를 離認하였다. 抗血清은 本原 農業技術研究所 바이러스研究室에서 製造한 CMV抗血清(力價 $\frac{1}{1280}$)을 使用하였다. 抗原은 部分純化된 바이러스液과 이병열의 粗汁液 및 日本 바이러스研究所에서 提供한(柳原比呂志) 순화된 日本產 CMV strain을 對照 供試하였다. 電子顯微鏡 觀察은 純化된 바이러스液를 供試하여 바이러스粒子의 形態를 直接 觀察하였고, 細胞切片은 人工接種시킨 담배(*N. tabacum* var. Havana)의 新葉에 나타난 病徵部位를 供試하였다. 固定은 Honda⁹의

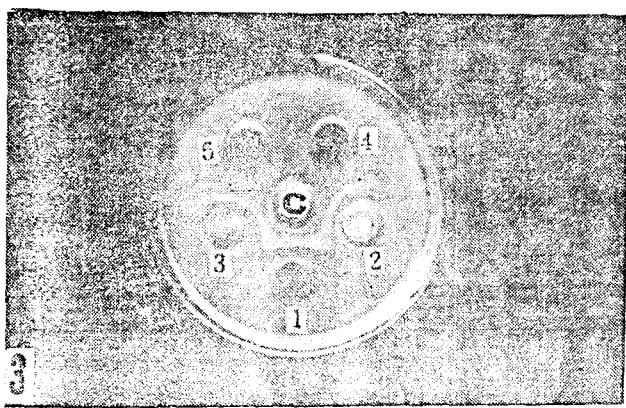
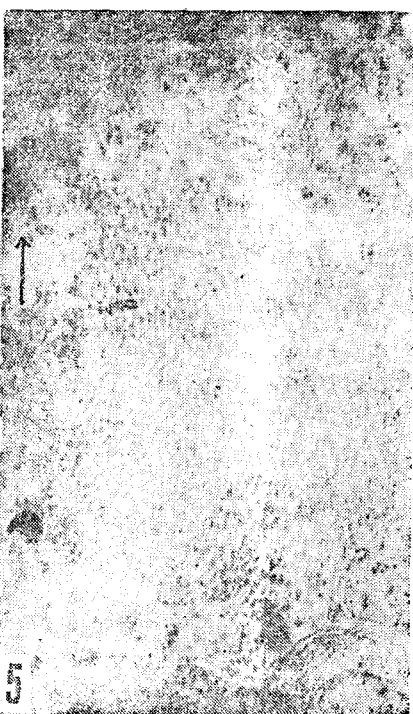
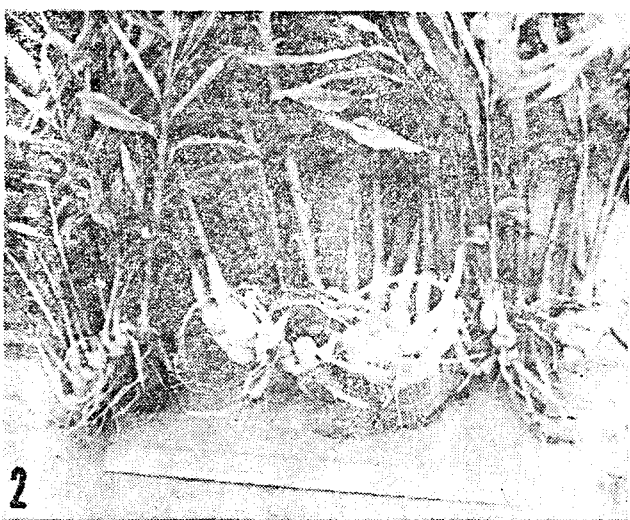
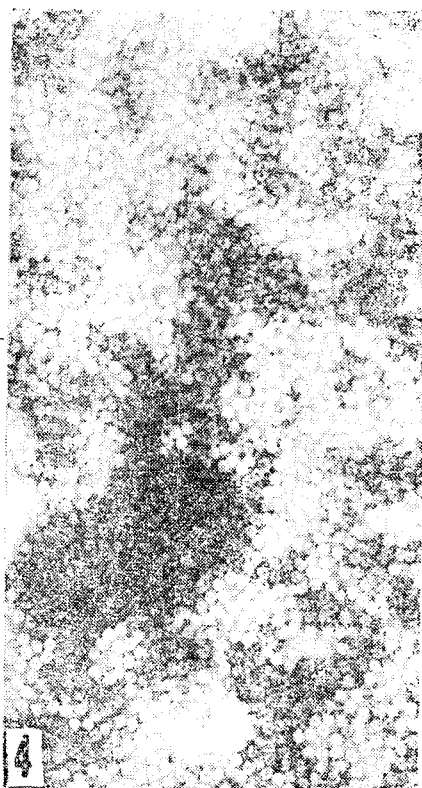
方法으로 하였고, epoxy resin으로 包埋하여 切片後 電子顯微鏡(Hitachi HS-7 및 HS-11)으로 검정하였다. 本實驗을 協助하여 준 農業技術研究所 바이러스研究室과 고려대학교 전자현미경실의 離認분체 감사하는 바이다.

結 果

病徵 및 寄生範圍: 발아 후 초기생장기에는 淡綠 및 黃綠色의 모자이크 病徵을 일으킨다. (Fig. 1). 심한 것은 退綠部分이 출무늬를 일으키며 植物全體가 萎縮되고, 特히 塊莖은 生長이 抑制되고 小球化된다(Fig. 2). 罹病塊莖을 월동 보관시켜면 健全塊莖이 비하여 부과율이 높으며 발아율도 저하된다.

生薑을 비롯하여 11科 29種의 植物에 汗液傳染을 시한結果 全身感染 및 局部徵狀이 23種, 無徵狀이 6種이었다. 성장은 16株中 15株가 汗液傳染되었으며, 接球傳染(core grafting)은 10株中 5株는 枯死하고 5株는 모자이크 증상이 나타났다. 全身感染植物은 담배, *N. tabacum* var. White Burley, *N. tabacum* var. Havana, *N. rustica*, *N. glutinosa*, *N. sylvestris*, 토마토(*Lycopersicum esculentum*), 고추(*Capsicum annum*), *Datura metal*, 백일홍(*Zinia elegans*), 천일홍(*Gomphrena globosa*), 금잔화(*Calendula officinalis*), 소리쟁이(*Rumex corchorifolius*), 일일초(*Vinca rosea*), 균대(*Beta vulgaris*), 누팔꽃(*Pharbitis nil*), 시금치(*Spinacia oleracea*), 오이(*Cucumis sativus*), 펑이(*Cucumis melo*)등이고, 局部斑點病 全身病徵植物은 *D. metal*, *D. stramonium*, *N. sylvestris*, 고추, 균대, 나팔꽃등이고, 명아주식물, *Chenopodium amaranticolar*, *Ch. album*등은 局部斑點만을 나타냈다. 病徵未確認植物은 콩(*Glycine max*), 강낭콩(*Phaseolus vulgaris*), 팽(*Ph. radiatus* var. aurea), 녹두(*Ph. radiatus* var. typicus), 까마중(*Solanum nigrum*), *N. physaloides*등이었다. 이를 無病徵植物들로부터 바이러스의 회수 확인接種은 하지 않았다.

圃場罹病率: 生薑 生長기간의 바이러스 圃場罹病率을 조사한 결과는 瑞山地方이 가장 높아 70.40%를 나타내었고, 凤東地方이 24.63%로서 제일 낮았으나, 實驗圃場은 53.89%를 나타내어 총 平均 43.90%의 罹病株率를 나타내었다. (Table 1). 表에는 제시하지 않았으나 生長期間中の 바이러스感染率 증가는 농가포장에서 7.46%, 實驗圃場에서는 12.97%의 증가율을 나타내었다. 이와 같이 地域에 따라 포장이병율의 큰 차이가 나타나는 것은 種薑에 主因되는 것으로 생각된다.



瑞山地方은 포장이 병을도 높았지만 재배작황도 좋지 않았다. 凤東地方은 井等³³⁾의 조사에 의하면 45%의 罹病率을 보였으나 이번 조사에서는 이병율이 낮았다. 이것은 1978년부터 생강병해에 대한 啓蒙이 住民들에게 이루어져서 種莖選別을 엄격히 한 것으로 생각된다. 實驗포의 이병율은 種莖選別時에 實驗目的에 따라 市場에서流通되는 종장을 무작위로 수집混合하여 선별 없이 植栽한 理由인듯 생각된다. 따라서 種莖의 管理問題도 種莖管理體系에 준하여 無病種莖의 生產團地育成과 系統的 純化體系의 確立이 되어야 하겠다.

Table 1. Occurrence the ginger mosaic disease in several areas in ginger growing fields, Korea (1979).

Areas Localities	No. of checked plants	No. of disease plants	Percent-age of disease (%)	Remark
Bong-dong	Lag-Pyung-ri	802	228	28.42
	Yul-so-ri	792	184	23.08 a
	Wha-san-ri	897	203	22.63
	Sub total	2,496	615	24.63
Seo-san	Bu-suk	992	714	71.97
	In-ji	917	673	68.81 a
	Sub total	1,970	1,587	70.40
Jeon-ju	Experimental field	1,388	568	53.89 b
Total		5,854	2,570	43.90

a; Each value is based on the measurements from three 9.9 m² plots from three different fields in three places. b; Three 9.9 m² plots from 18 fields.

媒介虫 調査: 생강에 서식하는 害虫으로서는 조명나방유충(*Ostrinia furnacalis*), 거세미나방유충(*Euxoa segetum*)등이 地上莖葉部를 加害하였으며, 地下部加害虫으로서는 5種의 線虫 *Meloidogyne hapla*, *Criconemoides informis*, *Rotylenchus* spp., *Aphele-nchoides* spp. 등이 優占種으로 採集되었다. 그러나 이들 害虫들에 의해서 CMV가 感染된다는 報告는 찾 아볼 수 없으며 앞으로 더욱 追試되어야 할 問題라고 생각한다.

純化及 血清反應: 담배(White Burley)에 接種後 純化及 血清反應濃度 및 溫度界限活性點: 局部斑點 및 全身感染植物 등 3種의 植物에 接種하였던 바 純化界限濃度는 $10^{-4} \sim 10^{-5}$ 부근이었고, 溫度界限活性點은 60~65°C 범위이었다.

純化 및 血清反應: 담배(White Burley)에 接種後

10日만에 收穫하여 純化한 결과 높은 濃度의 바이러스 를 회수할 수 있었다[Fig. 5]. 血清反應은 CMV抗血清과 抗原을 한천내화산법으로 반응시킨 결과 명확한 反應帶의 形成을 볼 수 있었다. 特히 部分純化한 生薑바이러스, 韓國系 CMV, 日本 CMV와는 뚜렷한 陽性, 反應帶를 보였고[Fig. 4], 粗汁液 反應에서도 陽性反應을 나타냈다. 따라서 生薑바이러스는 CMV群에 속하는 바이러스라고 생각된다. 그러나 정확한 CMV strain은 純化方法과 血清反應을 重試하여 보고하기로 하겠다.

電子顯微鏡的 觀察: 純化한 생강바이러스액을 稀釋하여 電子顯微鏡으로 形態를 경계한 결과 28~32m μ 範圍의 球形인 바이러스粒子들이 觀察되었다(Fig. 4). 生강바이러스를 接種한 담배(Havana)의 葉肉組織을 切片하여 경계한 결과는 球型 비슷한 바이러스粒子들이 細胞質內에 密集되어 存在하는 像이 觀察되었다. 또한 바이러스粒子들이 遊離되어 存在하는 것도 觀察되었다(Fig. 5). 그러나 罹病된 생강의 葉肉組織을 試料로 한 切片에서는 바이러스粒子를 관찰할 수 없었다

考 察

생강바이러스性 痘病의 病原體가 CMV群에 속하는 바이러스로 本 實驗結果 밝혀졌다. CMV는 寄主範圍도 넓고^{2,15,25)} 現在 밝혀진 CMV-strain만도 CMV-O, CMV-Y, CMV-Le, CMV-C, CMV-Vm, CMV-N을 비롯하여 十餘 strains^{11,14,31,32)}이 存在하여 昆蟲媒介도 留되는^{16,22)} 很多 높은 바이러스로 알려져 있다. CMV는 일반적으로 溫度에 不安定하여 溫度에 따라 痘斑의 形成, 바이러스의 增殖濃度 및 所要時間이 각 strain別로 다르게 나타난다^{3,6,7,31)}.

純化界限點, 溫度界限點, 耐保存期間등도 strain別로 뚜렷한 限界點을 決定하기 困難한 實情이다^{26,28,29)}. 血清學의 反應의 相互連關係를 보면 基本적으로는 strain間에 陽性反應을 나타내고 있으나^{1,8,19,20,25,27)} strain을 血清反應으로만 判別할 수 있는 基準血清을 定하기는 어려운 實情인듯 하다. 전자현미경을 통한 바이러스粒子의 크기도 24~34m μ 의 小球型^{24,28,29,32)}으로 strain間에 뚜렷한 차이가 없고, 罹病組織의 組織變化등의 特殊성도 찾아 볼 수 없다^{4,8,9)}. 최근 amino酸의 組成 RNA의 性質, 純化的 性質等 化學的方法을 應用하여 判別하려는 경향도 있다^{10,12,21,24)}. 따라서 寄主植物의 痘徵을 土壤로 物理化學的 諸性質등을 綜合하여 strain을 判別하는 方法이 가장 이상적이라 하겠다. 本 實驗에서 生강바이러스의 寄主反應이 溫度에 예민

하였고 특히 7~8월의 高溫期에는 기주식물에 接種하여도 病徵의 말현이 잘 나타나지 않았으며, 15~25°C 범위가 가장 좋았다. 本實驗에서 非感受性反應을 보인 植物中에는 CMV에 감수성식물로報告된 것도 있다^{2,15)}. 이것은 前述한 바와 같이 接種時期가 30°C 이상의 高溫時에는 바이러스增殖이抑制될 것으로 생각된다. 그러나 CMV의 기본기주인 명아주, *N. glutinosa*, *Datura spp* 등에 나타나는 痘徵으로 보아서 본 바이러스가 CMV群에 속하는 strain이라고 생각된다. 또한 溫度界限點은 60~65°C 稀釋界限點이 $10^{-4} \sim 10^{-5}$ 범위로 나타났으나 이것은 CMV群의 범위내에 드는 것이다^{26,28,29)}. 純化方法과 血清學的反應^{10,17,25)}에 대한 說明은 strain에 따라 差異와 改良方法들이 개발되고 있으나 본 실험에서도 고농도의 바이러스를 회수하였으며, 血清反應도 CMV血清, 日本系 CMV등과 陽性으로 나타난 것은 본 생강바이러스가 CMV群에 속하는 것으로 생각된다. 電子顯微鏡觀察에서 28~32mμ 小球型의 바이러스粒子가 관찰되었고 痘病組織에서도 바이러스의 密集像 및 遊離粒子像이 관찰되었다. 이것은 CMV粒子의 크기^{24,25,29,32)} 및 痘病組織의 報告像^{4,8,9)}과一致한다. 그러나 罷瘓生菌組織試料에서 바이러스粒子像을 觀察할 수 없었던 점은 바이러스의 濃度低下가 일어난 것으로 생각된다.

본 생강바이러스病의 농가재배포장 이병윤이 평균 43%를 상회한 것은 생강기지의 시급한 개선책이 요구된다고 하겠다. 특히 생장초기에 감염된 생강은 생장이 위축되어 塊莖이 小球化되고 생산량에 막대한 감수성을 초래한다. 본研究結果에 비추어 外國에서도²³⁾ 無病種莖의 생산단지 육성 및 補給體系를 개선하고 있는 바와 같이 우리나라에서도 無病種莖生產圃地育成과 아울러 무병종강의 補給體系화가 이루어지기를 전의하는 바이다.

摘 要

우리나라에 발생되고 있는 생강모자이크 바이러스病의 寄主範圍, 物理化學的性質, 血清檢定 및 電子顯微鏡的觀察을 調査하였다.

생강의 初期病徵은 黃綠斑紋을 일으키고 後期에는 姫縮現象 및 塊莖의 小球化를 이룬다. 圃場이병윤은 약 43%이었다. 汁液傳染, 接球傳染(core grafting)이 이루어지며, 동부, 오이 *Chenopodium amaranticolor*, *N. tabaccum* var. Havana를 비롯하여 23種의 CMV感受性植物에 병증을 나타낸다. 稀釋界限點은 $10^{-4} \sim 10^{-5}$ 범위이고, 溫度界限點은 65~70°C사이

이다. 血清反應은 CMV抗血清과 陽性으로 나타난다. 電子顯微鏡에 의한 바이러스粒子의 크기는 28~32mμ의 球型이다. 이병염육조직의 細胞質 속에는 球型바이러스粒子의 密集像과 遊離되어 있는 粒子도 관찰되었다. 이상을 종합하여 볼 때 생강에 모자이크病을 일으키는 바이러스는 CMV群에 속하는 바이러스로 밀어진다.

Explanation of figures

Fig. 1. Green and yellowish mosaic symptoms in ginger plant

Fig. 2. Diseased plants (left and right) showing streaks in leaves and stunt leaves and rhizomes. The healthy plants was put in between for comparison.

Fig. 3. Serological reaction by an agar gel diffusion method.C; Antiserum. 1-5; Antigens. 1; Purified virus from ginger plants. 2; CMV (control). 3; CMV from Japan. 4; fresh sap from mosaic disease in ginger plant. 5; fresh sap from healthy tobacco plant.

Fig. 4. Virus particles isolated from infected ginger plant(50,000x).

Fig. 5. A thin section prepared from the artificially infected tobacco plant. Virus-like particles are aggregated in cytoplasm. Free particles are also observed(arrow→) (45,000x).

引用文獻

- Bawden, F.C., B. Kassanis. 1970. The serological relationship between tobacco mosaic virus and cucumber viruses 3 and 4. Virology 34 : 174-175.
- 정봉조·이순형·이기운. 1977. 작물바이러스병 방제에 관한 시험(주요작물 바이러스병의 분리 동정에 관한 시험). 농촌진흥청 농업기술연구소 시험 연구보고서(병해충편) 203-205.
- 柄原比呂志. 1962. キュウリモサイクウイルスの接種葉における増殖. 日本植病報 27 : 78. 講演要旨.
- Ehara Yoshio. 1979. Complex membranous organelles in the cells of the local lesion area on

- cow pea infected with cucumber mosaic virus.
Ann. Phytopath. Soc. Japan 45 : 17-24.
5. 江原良夫・玉澤正生. 1975. キュウリモザイクウイルスの感染に関する研究 第8報. ウィルスの移行および病斑の擴大におよぼす温度の影響. 日植病報 41 : 15-23.
 6. Grogan, R.G., J.K. Uyemoto, and K.A. Kimble. 1963. Evidence that tomato aspermy and cucumber mosaic viruses are serologically unrelated. Virology 21 : 36-42.
 7. 日高醇・久保進. 1961. 接種葉におけるキュウリモザイクウイルスの増殖. 日植病報 26 : 67. 講演要旨.
 8. Honda, Y., C. Matsui, Y. Otsuki, and I. Takabe. 1974. Ultrastructure of tobacco mesophyll protoplasts inoculated with cucumber mosaic virus. Phytopathology 64 : 30-34.
 9. Honda, Y., and C. Matsui. 1974 Electron microscopy of cucumber mosaic virus infected tobacco leaves showing mosaic symptoms. Phytopathology 64 : 534-539.
 10. Howard Scott. 1963. Purification of cucumber mosaic virus. Virology 20 : 103-106.
 11. 佐藤英男・木山木利文. 1976. マメ科植物に発生するCMVの群ウイルスについて. 日植病報 42 : 377. 講演要旨.
 12. Kaper, J. K., and G.G. Re. 1974. Redetermination of the RNA content and the limiting RNA size of three strains of cucumber mosaic virus. Virology 60 : 308-311.
 13. 河合一郎. 1961. 園芸病害編(ショガの病害), 第2版, 日本. 252-255.
 14. 宮川平. 1961. マスクメロンに自然発生したカポチャモザイクウイルスならびに 1 strain について. 日植病報 26 : 70. 講演要旨.
 15. 小室康雄. 1958. キュウリモザイクウイルスに関する研究 Ⅲ. 寄主範囲. 日植病報. 23 : 235-239.
 16. 小室康雄. 1961. キュウリモザイクウイルスの媒介アブラムシの種類. 日植病報 26 : 70. 講演要旨.
 17. 李淳烈・李起連・鄭鳳善. 1978. 오이모자이크 바이러스의 演化와 抗血清製造, 韓國植物保護學會誌 17 : 29-31.
 18. 이순정・柳昌鉉・이준성. 1979. 작물 바이러스병 방제에 관한 연구(주요작물 바이러스병의 분류동정에 관한 시험). 농촌진흥청 농업기술연구소 험연구보고서(영해, 유진현). 242-249.
 19. Mink, C.I. 1969. Serological relationships among cucumber mosaic virus, Tomato aspermy type viruses and peanut stunt virus. Phytopathology 59 : 1889-1893.
 20. Mossop, D.W., R.I. Francki, and C.J. Grivell. 1976. Comparative studies on tomato aspermy and cucumber mosaic virus V. Purification and properties of a cucumber mosaic virus inducing severe chlorosis. Virology 34 : 544-546.
 21. 中澤邦男 1962. キニウリモザイクウイルスの3系統におけるモニアカラブラムシによる傳播力の差. 日植病報 27 : 78. 講演要旨.
 22. 小川勉・松原徳行・森憲昭・岩永皓. 1974. ショウガ種苗の生産安定に関する研究. 長崎県総合農林試験場研究報告(農業部分). 第2号. 2-29.
 23. Regenmortel, M.H.V. 1961. Zone electrophoresis and particle size of cucumber mosaic virus. Virology 15 : 221-224.
 24. 匠原監一郎・井上忠男. 1978. キュウリモザイクウイルス検出診断のための簡易寒天ゲル内擴散法. 日植病報 44 : 619-625.
 25. 井上成信. 1966. Dendrobium から分離されたCMVについて. 日植病報 32 : 82. 講演要旨.
 26. 井上成信・井上忠男. 1967. キュウリ線斑モザイクウイルスに関する研究(第4報) GMMV, TMV, ORSV 相互間の血清反応試験. 日植病報 33 : 339. 講演要旨.
 27. 田村實・小寶康雄. 1967. キュウリモザイクウイルスによるアジサイのモザイク病. 日植病報 33 : 27-31.
 28. 高橋實・尾崎武河・森康史. 1967. キュウリモザイクウイルスの草花類からの分離. 日植病報 33 : 339. 講演要旨.
 29. Takanami, Y. and K. Tomaru. 1969. Effect of EDTA on cucumber mosaic virus and its application in purification. Virology 37 : 293-295.
 30. 都丸敬一. 1975. タバコにおけるキュウリモザイクのウイルスに関する研究. 日植病報 41 : 233-235.
 31. Waterworth, H.E., and W.R. Povish. 1975. A virus related to cucumber mosaic from imported Ixora plants. Phytopathology 65 : 728-729.
 32. 尹淳奇・蘇仁永・金炯武. 1979. 全北県東生源圃地의 病害虫 調査研究. 全北農大論文集 10 : 1-24.